

Нелинейная динамика и хаос. Вводный курс.

Литература:

- Г.М.Заславский, Р.З.Сагдеев, «Введение в нелинейную физику», Москва «Наука», 1988.
- Г.Шустер, «Детерминированный хаос. Введение», Москва Мир, 1988.
- М.Табор, «Хаос и интегрируемость в нелинейной динамике», Москва УРСС, 2001.
- В.И.Арнольд, В.В.Козлов, А.И.Нейштадт, «Математические аспекты классической и небесной механики», Москва УРСС, 2002.
- Г.М.Заславский, «Физика хаоса в гамильтоновых системах», Москва-Ижевск, 2004.
- S.H.Strogatz, “Nonlinear Dynamics and Chaos”, Perseus books, 1994.

Лекция 1.

1. Основные понятия
2. Характеристики динамического хаоса
3. Примеры

1. Динамическая система, фазовое пространство, фазовая траектория.

Динамическая система:

- фазовое пространство M , элементы которого представляют собой возможные состояния системы
- время – непрерывное или дискретное
- закон эволюции системы φ_t – правило, позволяющее определять все будущие (для обратимых систем и все прошлые) состояния системы по состоянию в заданный момент времени.

$$\varphi_{t+s} = \varphi_t \circ \varphi_s$$

Если M – область евклидова пространства, а t – непрерывно меняющийся параметр, эволюцию можно задать с помощью системы обыкновенных дифференциальных уравнений.

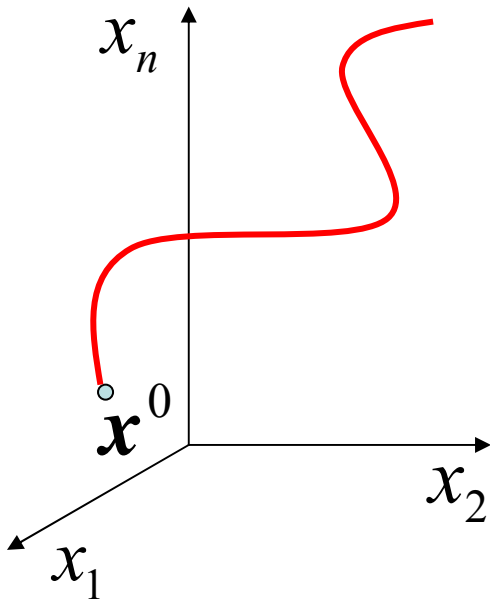
x_1, x_2, \dots, x_n – определяют состояние некоторой системы в каждый момент времени. Изменение состояния системы с течением времени может быть описано системой ОДУ:

$$\dot{x}_1 = f_1(x_1, \dots, x_n)$$

.....

$$\dot{x}_n = f_n(x_1, \dots, x_n)$$

(x_1, x_2, \dots, x_n) - фазовое пространство



Пусть при $t = 0$ $x_1 = x_1^0, \dots, x_n = x_n^0$

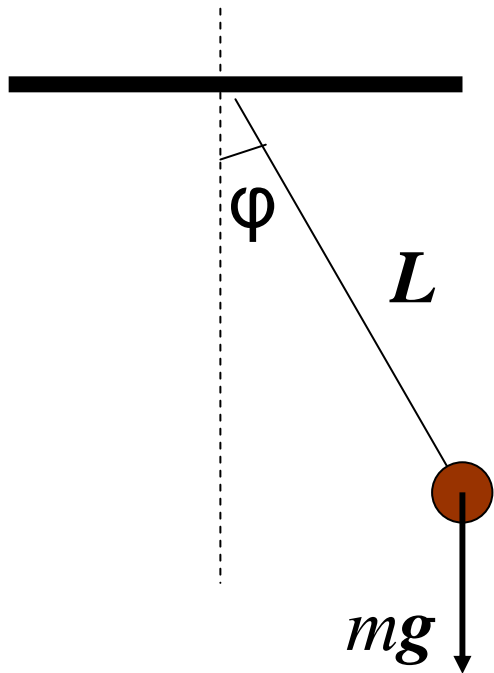
Решение системы с таким начальным условием может быть представлено в виде кривой в фазовом пространстве, проходящей через точку \mathbf{x}^0 .

Эта кривая называется *фазовой траекторией*.

Будем использовать обозначение $\varphi_t \mathbf{x}^0$ для образа точки \mathbf{x}^0 по прошествии времени t :

$$\varphi_t \mathbf{x}^0 = x(\mathbf{x}^0, t)$$

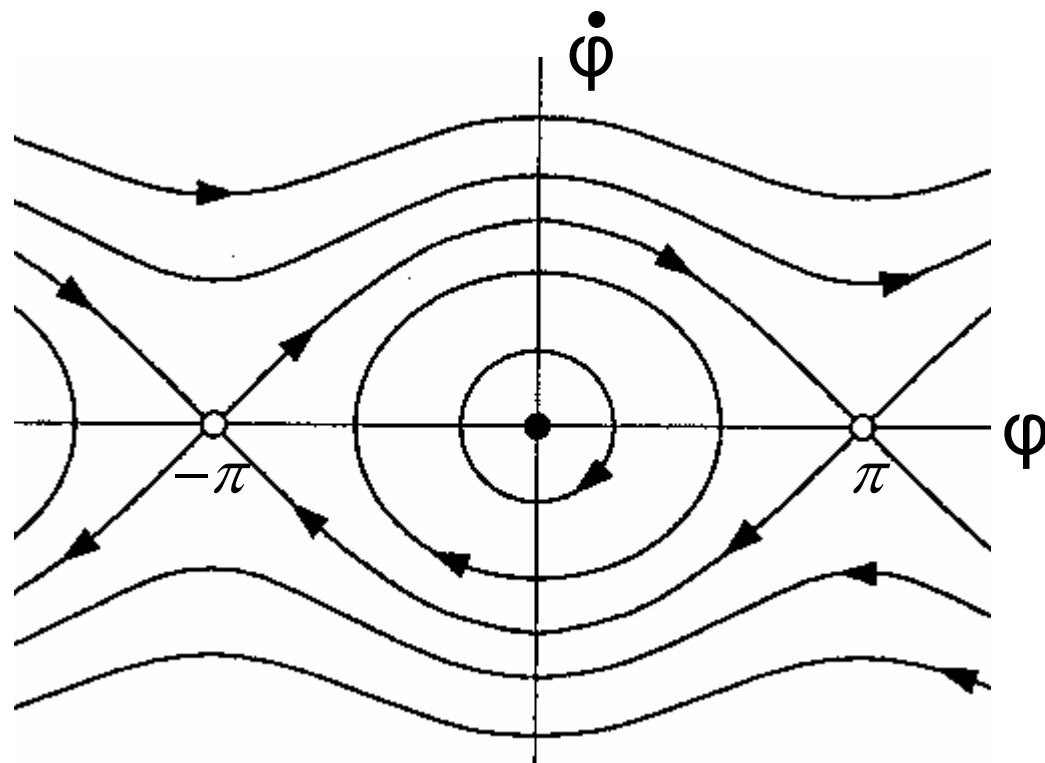
Пример. Нелинейный маятник.



$$\ddot{\varphi} + \frac{g}{L} \sin \varphi = 0$$

$$x_1 = \varphi, \quad x_2 = \dot{\varphi} = \dot{x}_1$$

$$\begin{cases} \dot{x}_1 = x_2 \\ \dot{x}_2 = -\frac{g}{L} \sin x_1 \end{cases}$$



Теория ОДУ – по начальным условиям можно построить единственное решение \implies детерминизм.

Пьер-Симон Лаплас (1812):

Мы можем рассматривать настоящее состояние Вселенной как следствие его прошлого и причину его будущего. Разум, которому в каждый определенный момент времени были бы известны все силы, приводящие природу в движение и положение всех тел, из которых она состоит, будь он также достаточно обширен, чтобы подвергнуть эти данные анализу, смог бы объять единым законом движение величайших тел Вселенной и мельчайшего атома; для такого разума ничего не было бы неясного и будущее существовало бы в его глазах точно так же, как прошлое.



Анри Пуанкаре (1908):



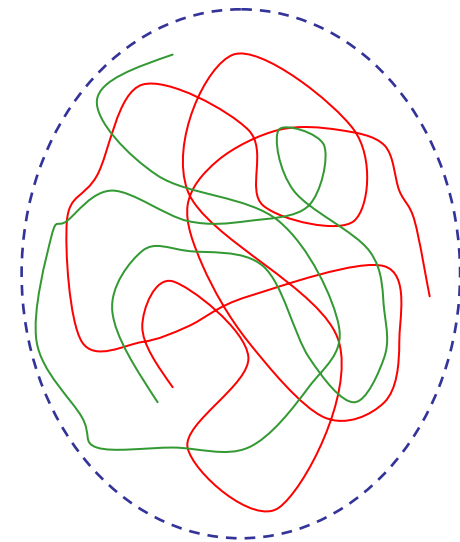
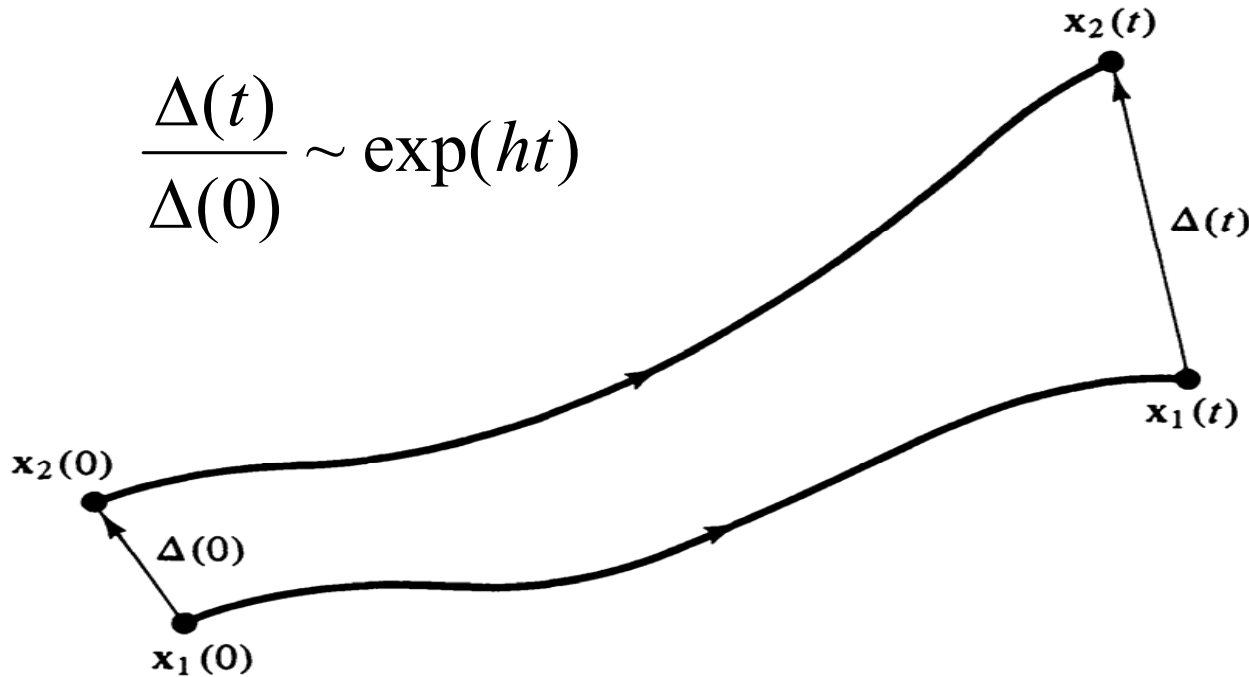
Если бы мы знали точно законы природы и состояние Вселенной в начальный момент, то мы могли бы точно предсказать состояние Вселенной в любой последующий момент. Но даже и в том случае, если бы законы природы не представляли собой никакой тайны, мы могли бы знать первоначальное состояние только приближенно. Если это нам позволяет предвидеть дальнейшее ее состояние с тем же приближением, то это все, что нам нужно ... Но дело не всегда обстоит так; иногда небольшая разница в первоначальном состоянии вызывает большое различие в окончательном явлении. Небольшая погрешность в первом вызвала бы огромную ошибку в последнем. Предсказание становится невозможным, мы имеем перед собой явление случайное.

2. Характеристики динамического хаоса

2.1 Экспоненциальное разбегание фазовых траекторий

Рассмотрим две фазовых точки, расстояние между которыми в начальный момент времени $\Delta(0)$ мало. В момент времени t оно равно $\Delta(t)$:

$$\frac{\Delta(t)}{\Delta(0)} \sim \exp(ht)$$



В ограниченном фазовом объеме экспоненциальное разбегание приводит к «запутыванию» траекторий.

2.2 Непредсказуемость

Предположим, что точность определения начальных условий $\Delta \ll 1$, т.е. две фазовые точки, расстояние между которыми равно или меньше Δ , мы различить не можем. Пусть вся эволюция происходит в конечной области фазового пространства с характерным размером $R \sim 1$. За время

$$T_1 \sim \frac{1}{h} \ln \frac{R}{\Delta}$$

траектории разойдутся на расстояние порядка размера системы, т.е. предсказать уже ничего нельзя. Чтобы увеличить время прогноза вдвое, нужна точность

$$\Delta_2 \sim \exp(-2hT_1) \sim \Delta^2$$

Т.е. точность должна вырасти экспоненциально.

2.3 Эргодичность

(M, μ, φ_t) – динамическая система, μ – мера, $\mu(M)=1$.
Временным средним функции f на M называется величина (зависящая, вообще говоря, от начального условия x_0):

$$\bar{f}(x_0) = \lim_{T \rightarrow \infty} \frac{1}{T} \int_0^T f(\varphi_t x_0) dt$$

Пространственное среднее:

$$\langle f \rangle = \int_M f(x) d\mu$$

Система называется *эргодичной*, если $\bar{f}(x) = \langle f \rangle$
почти для всех x .

(Временное среднее не зависит от начальной точки.)

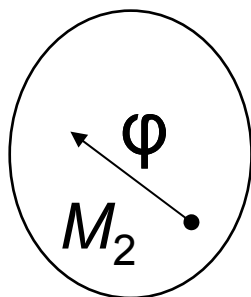
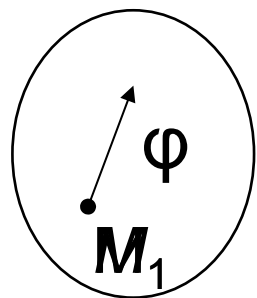
Если система эргодична на M , то относительное время, которое фазовая траектория проводит в некотором подмножестве $\Delta \subset M$, равно мере этого подмножества.

Действительно, достаточно рассмотреть

$$f(x) = \chi(\Delta) = \begin{cases} 1, & x \in \Delta \\ 0, & x \notin \Delta \end{cases}$$

Пример. Разложимая система:

$$M = M_1 \cup M_2, \quad M_1 \cap M_2 = \emptyset,$$



$$\mu(M_1) > 0, \quad \mu(M_2) > 0$$

M_1, M_2 – инвариантны: $\varphi(M_1) = M_1, \varphi(M_2) = M_2$.

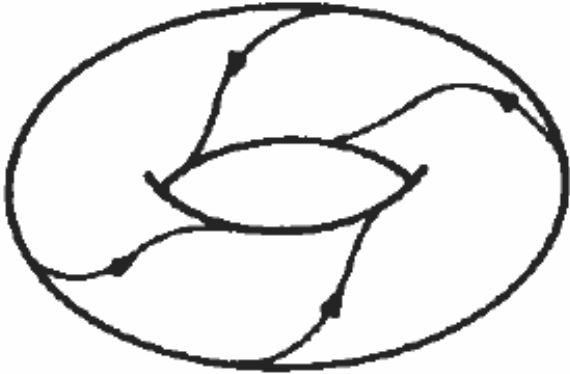
Такая система не эргодична: рассмотрим функцию

$$f(x) = \begin{cases} 1, & \text{при } x \in M_1 \\ 0, & \text{при } x \in M_2 \end{cases}$$

Её временное среднее зависит от x .

Верно и обратное: если система не эргодична, она разложима. Эргодичность \iff неразложимость, т.е. все инвариантные измеримые множества имеют меру 1 или 0.

Пример. Движение на торе.



$$\theta_1(t) = \theta_1^0 + \omega_1 t, \quad \theta_2(t) = \theta_2^0 + \omega_2 t$$

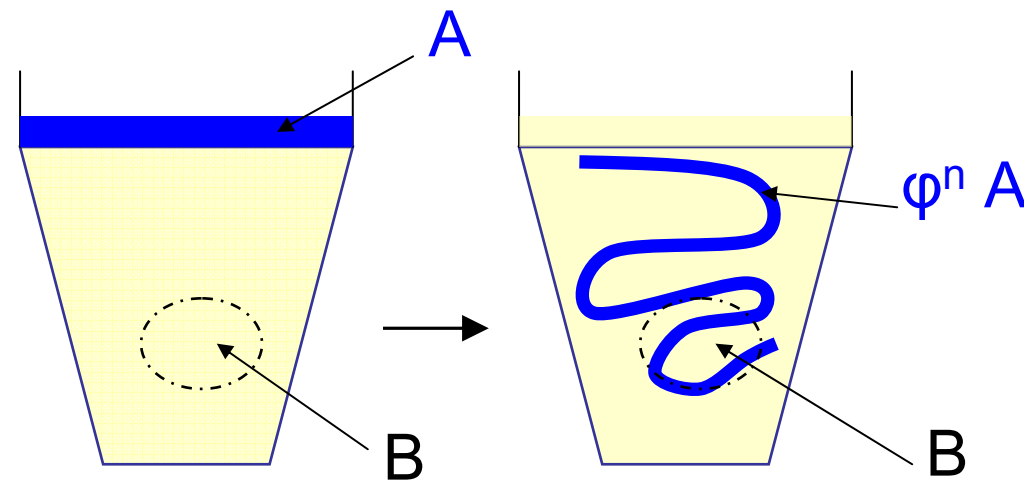
1) $\alpha = \omega_1 / \omega_2 = \frac{p}{q}$ - рациональное

Траектория замкнута, следовательно, система не эргодична.

2) $\alpha = \omega_1 / \omega_2$ - иррациональное число. Траектория заполняет тор всюду плотно. Можно доказать, что в этом случае система эргодична.

Но никакой непредсказуемости в этом случае нет.

2.4 Перемешивание



Приготовление коктейля:
10% синего, 90% жёлтого.
Доля синего в произвольном объеме B шейкера после n встряхиваний φ равна:

$$\frac{\mu(\varphi^n A \cap B)}{\mu(B)}$$

После достаточно большого числа встряхиваний ($n \rightarrow \infty$) эта доля близка к 10%, т.е. к $\mu(A)$.

Динамическая система обладает свойством **перемешивания**, если для любых измеримых A и B

$$\lim_{t \rightarrow \infty} \mu(\varphi_t A \cap B) = \mu(A) \cdot \mu(B)$$

Динамическая система с перемешиванием эргодична.

Возьмем инвариантное и измеримое A ($\varphi_t A = A$). Пусть $B = M \setminus A$.

$$\varphi_t A \cap B = A \cap B = \emptyset$$

$$\Rightarrow \mu(A) \cdot \mu(B) = 0 \Rightarrow \mu(A) = 0 \text{ или } 1$$

Следовательно, система эргодична. Обратное неверно: например, движение на торе с иррациональным α эргодично, но не перемешивает.

3. Примеры

3.1 Двойной маятник

$$L = \frac{1}{6}ml^2 \left[\dot{\theta}_2^2 + 4\dot{\theta}_1^2 + 3\dot{\theta}_1\dot{\theta}_2 \cos(\theta_1 - \theta_2) \right] + \frac{1}{2}mgl(3 \cos \theta_1 + \cos \theta_2).$$

$$p_{\theta_1} = \frac{\partial L}{\partial \dot{\theta}_1} = \frac{1}{6}ml^2 \left[8\dot{\theta}_1 + 3\dot{\theta}_2 \cos(\theta_1 - \theta_2) \right]$$

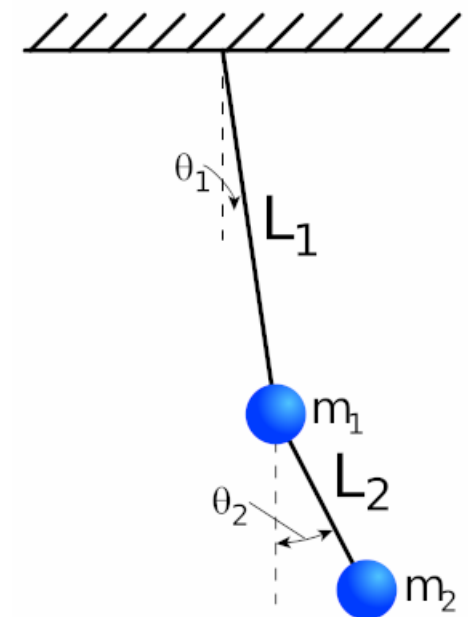
$$p_{\theta_2} = \frac{\partial L}{\partial \dot{\theta}_2} = \frac{1}{6}ml^2 \left[2\dot{\theta}_2 + 3\dot{\theta}_1 \cos(\theta_1 - \theta_2) \right].$$

$$\dot{\theta}_1 = \frac{6}{ml^2} \frac{2p_{\theta_1} - 3 \cos(\theta_1 - \theta_2)p_{\theta_2}}{16 - 9 \cos^2(\theta_1 - \theta_2)}$$

$$\dot{\theta}_2 = \frac{6}{ml^2} \frac{8p_{\theta_2} - 3 \cos(\theta_1 - \theta_2)p_{\theta_1}}{16 - 9 \cos^2(\theta_1 - \theta_2)}.$$

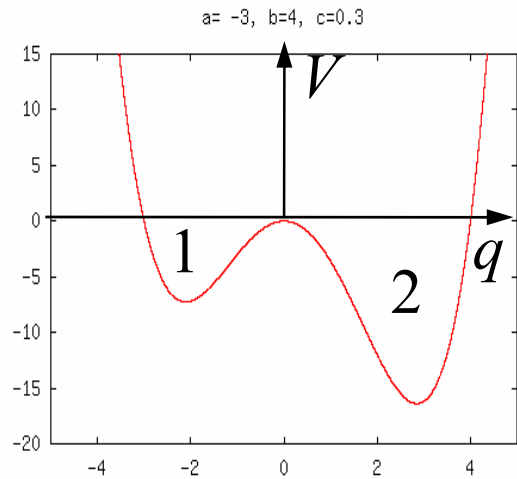
$$\dot{p}_{\theta_1} = \frac{\partial L}{\partial \theta_1} = -\frac{1}{2}ml^2 \left[\dot{\theta}_1\dot{\theta}_2 \sin(\theta_1 - \theta_2) + 3\frac{g}{\ell} \sin \theta_1 \right]$$

$$\dot{p}_{\theta_2} = \frac{\partial L}{\partial \theta_2} = -\frac{1}{2}ml^2 \left[-\dot{\theta}_1\dot{\theta}_2 \sin(\theta_1 - \theta_2) + \frac{g}{\ell} \sin \theta_2 \right].$$



3.2 Движение в двойной потенциальной яме при малом трении.

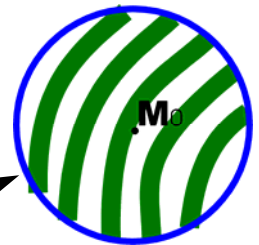
(В.И. Арнольд, 1963)



+ малое трение $\varepsilon f(q, \dot{q})$

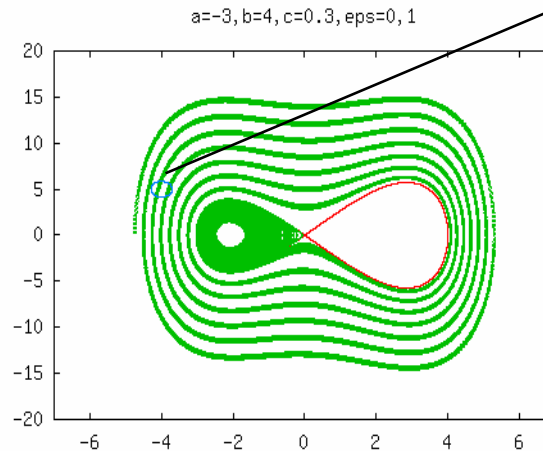
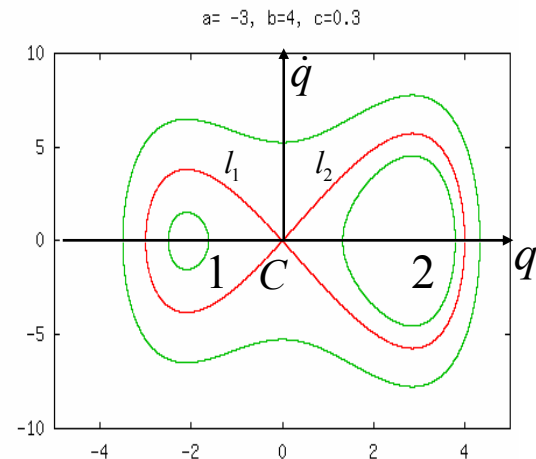
$$\ddot{q} + \frac{\partial V(q)}{\partial q} = -\varepsilon f(q, \dot{q})$$

Фазовые портреты:



при $\varepsilon = 0$

при $\varepsilon \neq 0$



$$U^\delta = U_1^{\delta, \varepsilon} \cup U_2^{\delta, \varepsilon} \cup \nu$$

\downarrow \downarrow
 (1) (2)

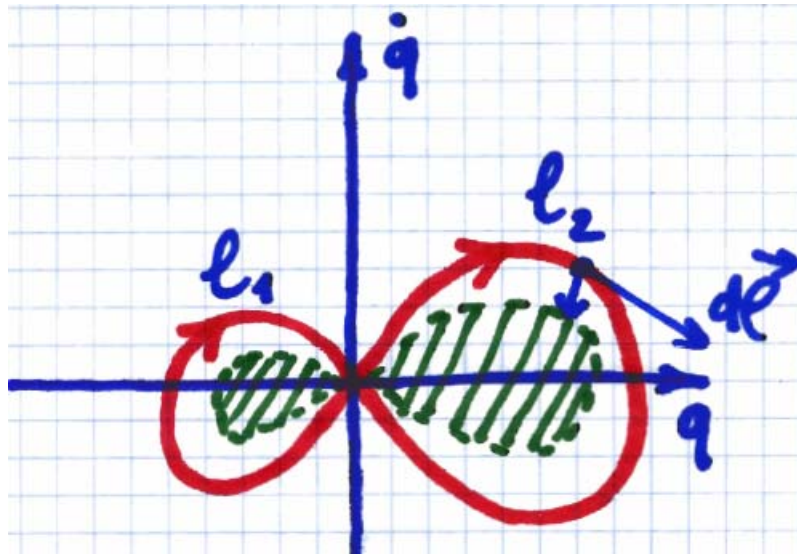
Определение. Вероятность захвата точки M_0 в яму «1» есть

$$P_1(M_0) = \lim_{\delta \rightarrow 0} \lim_{\varepsilon \rightarrow 0} \frac{\text{mes } U_1^{\delta, \varepsilon}}{\text{mes } U^\delta}$$

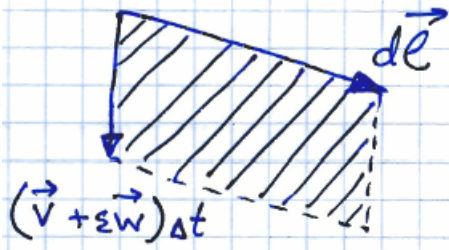
Теорема. (В.И. Арнольд)

$$\frac{P_1}{P_2} = \frac{\oint_{l_1} f dq}{\oint_{l_2} f dq}, \quad P_1 + P_2 = 1$$

«Доказательство»



Рассмотрим все точки внутри сепаратрисы в какой-то момент времени. За малый интервал времени Δt они «опустятся» вглубь ям и займут заштрихованные области. В пояски вокруг этих областей войдут новые точки. Поэтому отношение вероятностей = отношению площадей поясков.



$$\Delta S = (\vec{v} + \varepsilon \vec{w}) \Delta t \times d\vec{e} = \varepsilon \Delta t (\vec{w} \times d\vec{e})$$

$(d\vec{e} \parallel \vec{v})$

$$\begin{cases} \dot{q} = p \\ \dot{p} = -\frac{\partial v}{\partial q} - \varepsilon f \end{cases}$$

$$\vec{v} = \left(\dot{q}, -\frac{\partial v}{\partial q} \right)$$

$$\vec{w} = (0, f)$$

$$\frac{P_1(M_0)}{P_2(M_0)} = \frac{\oint_{e_1} \vec{w} \times d\vec{e}}{\oint_{e_2} \vec{w} \times d\vec{e}} = \frac{\oint_{e_1} \vec{w} \times \vec{v} dt}{\oint_{e_2} \vec{w} \times \vec{v} dt} =$$

$$= \frac{\oint_{e_1} f \dot{q} dt}{\oint_{e_2} f \dot{q} dt} = \frac{\oint_{e_1} f dq}{\oint_{e_2} f dq}$$

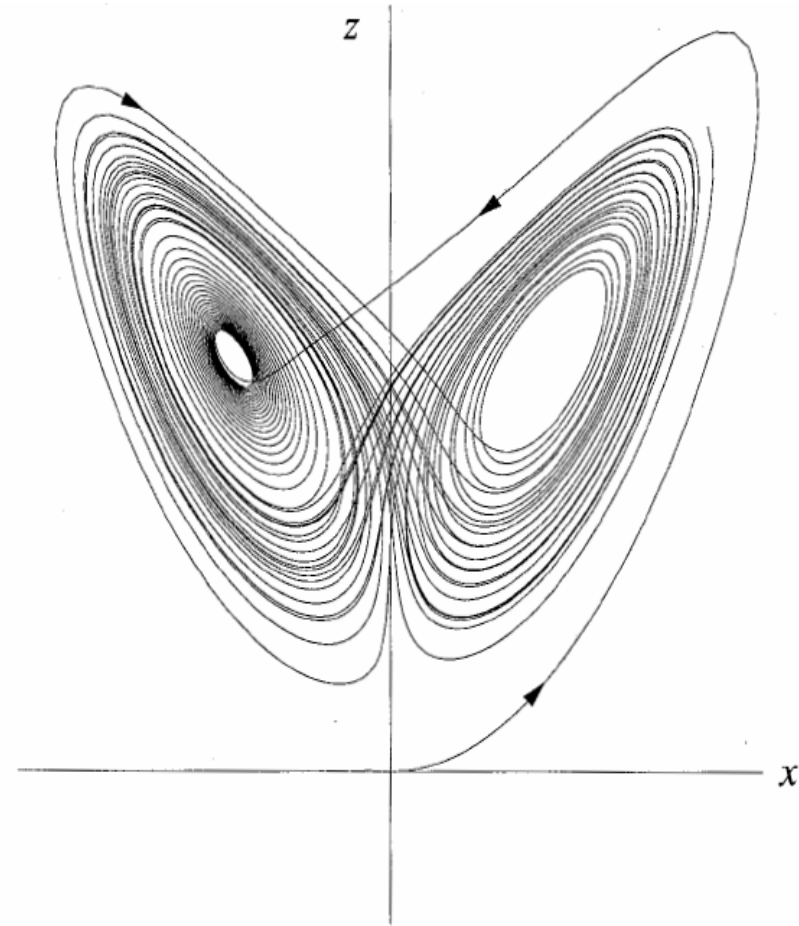
3.3 Аттрактор Лоренца (E. Lorenz, 1963).

$$\frac{dx}{dt} = \sigma(y - x)$$

$$\frac{dy}{dt} = x(\rho - z) - y$$

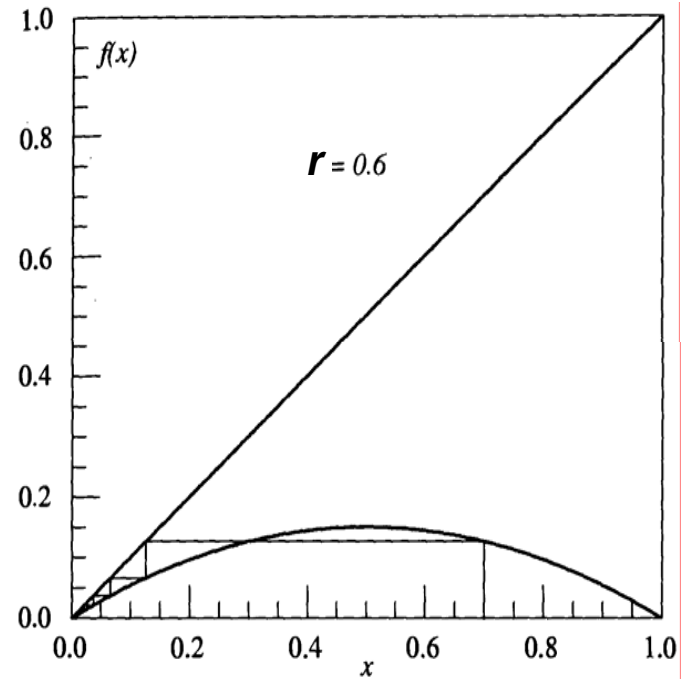
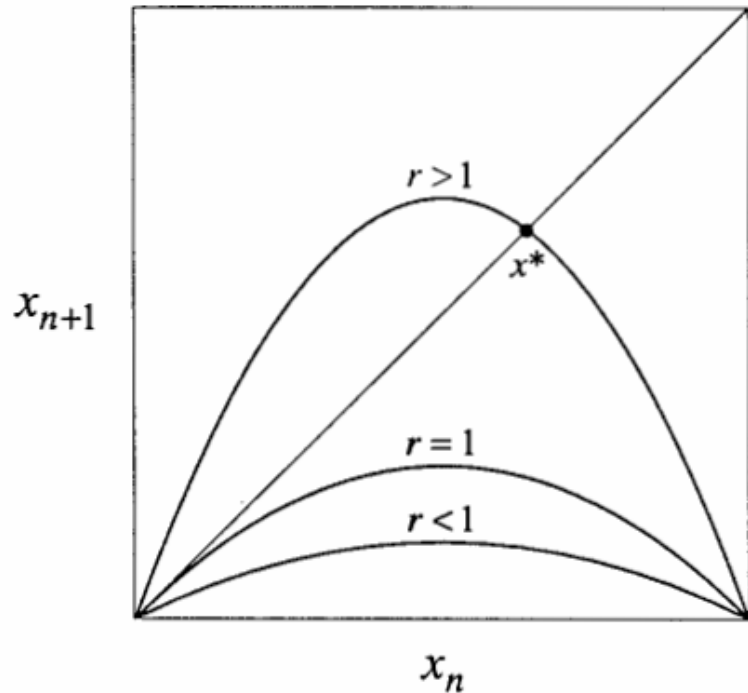
$$\frac{dz}{dt} = xy - \beta z$$

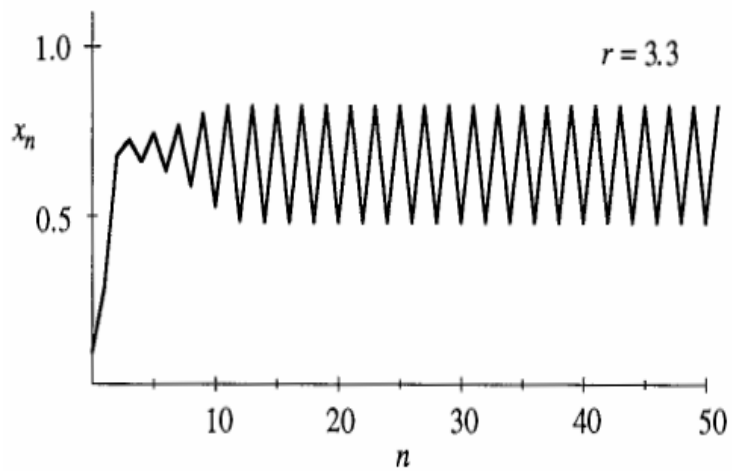
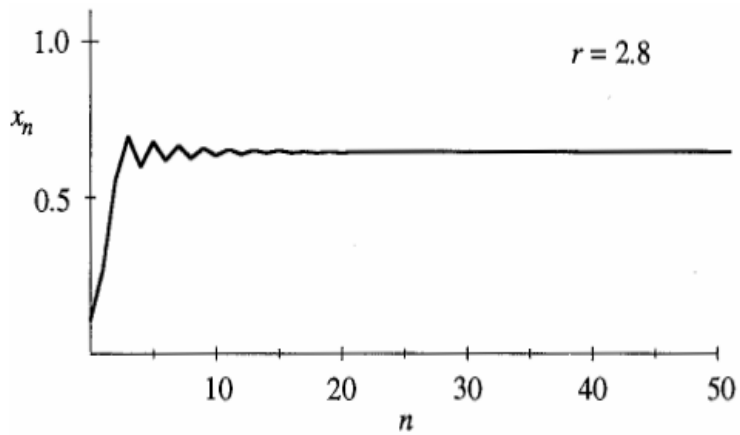
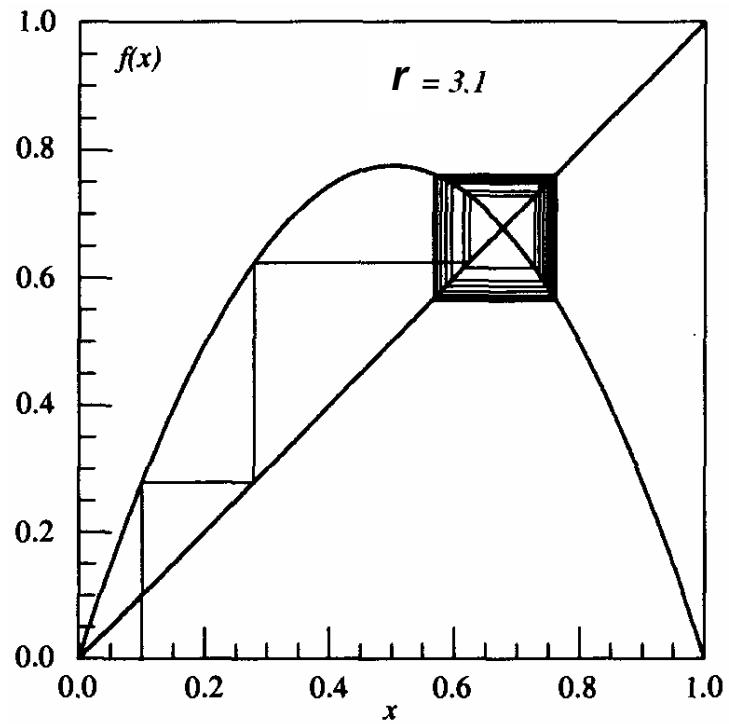
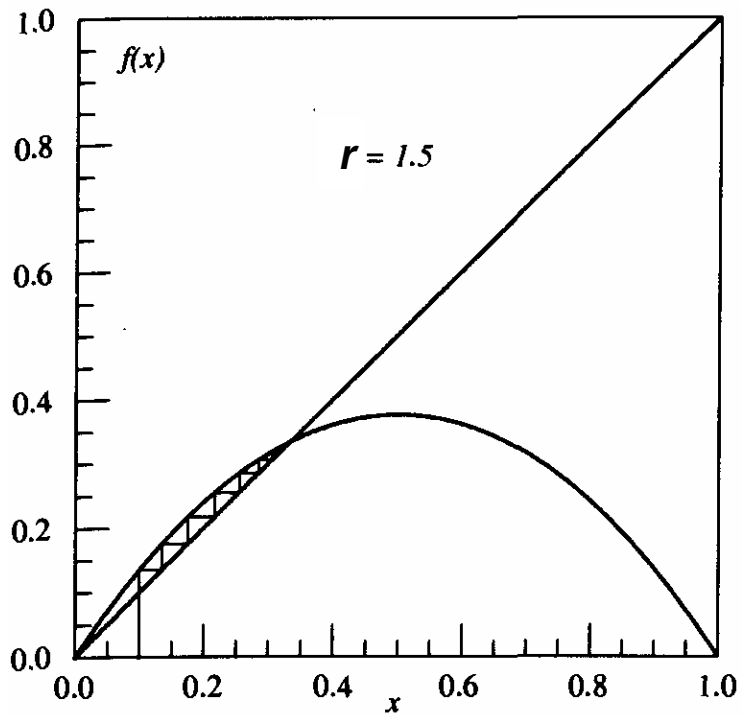
Система диссипативная: фазовый объем сжимается со скоростью $\sigma + \beta + 1$. Зафиксируем $\sigma = 10$, $\beta = 8/3$. При $\rho > 24.06$ возникает «странный аттрактор» с хаотическим движением.



3.4 Логистическое отображение

$$x_{n+1} = rx_n(1 - x_n), \quad 0 \leq x_n \leq 1, \quad 0 \leq r \leq 4$$





Каскад бифуркаций удвоения периода предельных циклов:

$r_1 = 3$
 $r_2 = 3.449\dots$
 $r_3 = 3.54409\dots$
 $r_4 = 3.5644\dots$
 $r_5 = 3.568759\dots$
 \vdots
 $r_\infty = 3.569946\dots$

(period 2 is born)

4

8

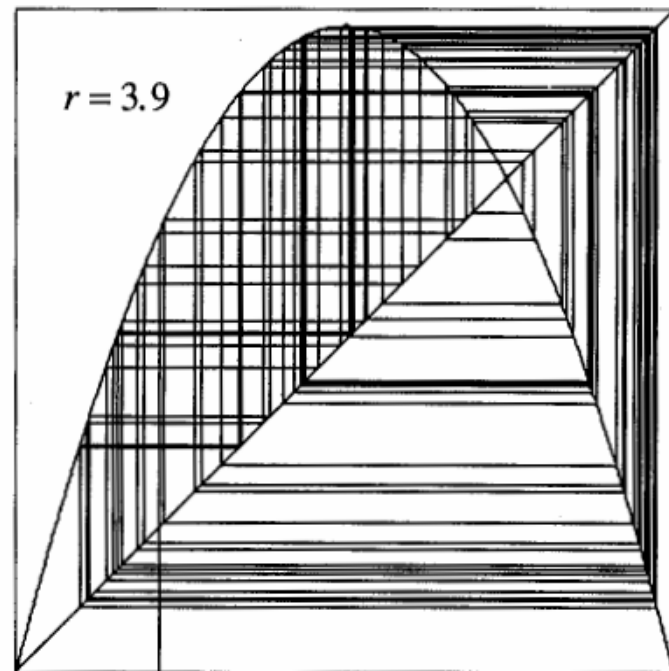
16

32

\vdots

∞

x_{n+1}



x_n

Что происходит при $r > r_\infty$?

